雷达信号处理中的矩阵方法

目 录

| 4 | 第1章 | 3 绪论 | 1 |
|----|-------------------|----------------------|----|
| 5 | 1.1 | 雷达的基本概念 | 1 |
| 6 | 1.2 | 雷达工作原理 | 2 |
| 7 | | 1.2.1 基本组成 | 2 |
| 8 | | 1.2.2 工作频率 | 2 |
| 9 | | 1.2.3 目标探测 | 4 |
| 10 | 1.3 | 电磁波传播特性 | 4 |
| 11 | | 1.3.1 电磁波的反射 | 5 |
| 12 | | 1.3.2 电磁波的折射 | 6 |
| 13 | | 1.3.3 自由空间路径损耗与大气衰减 | 8 |
| 14 | | 1.3.4 色散现象与多径效应 | 9 |
| 15 | 1.4 | 雷达方程 | 10 |
| 16 | 1.5 | 小结 | 12 |
| | ** • • | : | |
| 17 | | 年 年 年 方 法 基 础 | 13 |
| 18 | 2.1 | 矩阵分解 | 13 |
| 19 | | 2.1.1 特征分解 | |
| 20 | | 2.1.2 奇异值分解 | |
| 21 | | 2.1.3 稀疏分解 | |
| 22 | 2.2 | 矩阵微分 | 22 |
| 23 | | 2.2.1 实矩阵微分 | |
| 24 | | 2.2.2 复矩阵微分 | 26 |
| 25 | 2.3 | 张量及相关运算 | |
| 26 | | 2.3.1 张量的定义 | 27 |
| 27 | | 2.3.2 张量的运算 | 29 |
| 28 | | 2.3.3 张量分解 | 31 |
| 29 | 2.4 | 常见统计量的矩阵表示 | 33 |
| 30 | 第3音 | 五 雷达发射与接收信号模型 | 37 |

· II ·

| 31 | 3.1 | 发射信号模型 | 37 |
|----------|--------------|--|-----|
| | | | 51 |
| 32 | 3.2 | 阵列接收信号模型 | 40 |
| 33 | | 3.2.1 一维均匀线性阵列 | |
| 34 | | 3.2.2 二维均匀线性阵列 | 43 |
| 35 | 3.3 | 多普勒接收信号模型 | 45 |
| 36 | 3.4 | 空时联合接收信号模型 | 48 |
| 37 | 3.5 | 噪声、杂波和多径模型 | 49 |
| | 労 4 音 | 雷达信号检测 | 52 |
| 38 | 先 4 早 4.1 | | 53 |
| 39 | 4.1 | 脉冲压缩 | |
| 40 | | 目标检测 | |
| 41 | 4.3 | 4.3.1 门限选择与检测性能 | |
| 42 | | 4.3.2 恒虚警率检测 | |
| 43 | | 4.3.2 但座音竿位例 | 65 |
| 44 | 第5章 | 目标参数估计 | 69 |
| 45 | 5.1 | 波束形成方法 | 69 |
| 46 | | 5.1.1 经典波束形成 | 70 |
| 47 | | 5.1.2 和差比幅测角 | |
| 48 | | 5.1.3 最小方差无失真响应 | 77 |
| 49 | 5.2 | 子空间方法 | 79 |
| 50 | | 5.2.1 MUSIC 方法 | 80 |
| 51 | | 5.2.2 ESPRIT 方法 | 85 |
| 52 | 5.3 | 稀疏表示方法 | |
| 53 | 5.4 | 多域联合估计 | 92 |
| 54 | | 5.4.1 空时自适应处理 | 92 |
| 55 | | 5.4.2 张量分解方法 | 97 |
| | 笙 6 音 | 目标跟踪 | 101 |
| 56 | | 状态估计 | |
| 57 | 0.1 | 6.1.1 最小均方滤波 | |
| 58 | | 6.1.2 卡尔曼滤波 | |
| 59 60 | 6.2 | 数据关联 | |
| 61 | 0.2 | The state of the s | |

目 录 · Ⅲ·

| 62 | 6.2.2 图匹配方法 | 112 |
|----|----------------|-----|
| 63 | 参考文献 | 117 |
| 64 | 附录 A 基础知识 | 119 |
| 65 | A.1 符号规定 | 119 |
| 66 | A.2 矩阵函数 | 119 |
| 67 | A.3 卷积与相关的矩阵表示 | 119 |
| 68 | A.4 拉格朗日乘数法 | 122 |
| 69 | A.5 分块矩阵求逆公式 | 123 |
| 70 | 附录 B 向量范数与矩阵范数 | 127 |
| 71 | B.1 向量范数 | 127 |
| 72 | B.2 矩阵范数 | 130 |
| 73 | 附录 C 张量乘法性质 | 133 |

第1章 绪论

1.1 雷达的基本概念

75

雷达是英文 Radio Detection and Ranging (Radar) 的缩写的英译,即用无线电波的 反射信号发现目标并测定其空间位置、移动方向、速度、相对距离甚至大概形状的电子设备。作为一种重要的探测手段,雷达被广泛应用于航空与航海导航、军事侦察和预警、气象观测以及太空探索等领域。

严格来说,雷达的研发工作始于 20 世纪 30 年代,最初是为了探测敌方飞机和舰船而设计的,但雷达的基本概念却可以追溯到半个多世纪前。在 1864 年,麦克斯韦 (James Clerk Maxwell) 提出了电磁波的理论,给出了著名的麦克斯韦方程组,从理论上证明了光是一种特殊的电磁波。该理论的一个延伸是,电磁波也可以像电磁波一样被金属物体反射、被电介质折射。随后赫兹 (Heinrich Hertz) 在 1887 年使用波长为 66 厘米 (对应于大约 455MHz) 的无线电波成功地实验验证了这一结论,并于 1888 年发表了相关论文。

实验装置如图 1.1 所示,主要由一个发射天线和一个接收天线组成。其中发射天线是由两个黄铜球连接的金属棒构成,中间留有一个小间隙。当接通电源时,电流在。金属棒之间产生振荡,从而在空间中产生无线电波。这些无线电波会在空间中传播,并被金属板反射回来,形成驻波。接收天线则是一个有开口的金属环,它可以接收到反射回来的无线电波,并在开口处产生火花。通过移动接收天线的位置,可以观察到火花的强度变化,从而得到无线电波的波长,结合频率可以计算出电磁波的传播速度,进而验证麦克斯韦方程组的正确性。

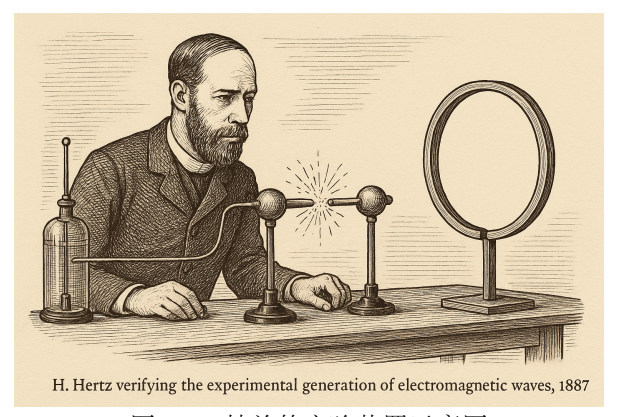


图 1.1 赫兹的实验装置示意图

雷达利用的便是电磁波的反射特性,通过发射电磁波并接收其反射信号来探测目标物体的位置、方位和速度等信息。雷达系统通常包括发射机、接收机、天线和信号处理单元等部分。发射机产生高频电磁波信号,通过天线向外发射。当电磁波遇到目标物体时,会发生反射,反射信号被天线接收并传输到接收机进行处理。通过分析反射信号的时间延迟和频率变化等特征,可以计算出目标物体的距离、速度和方向等信息。息。

1.2 雷达工作原理

1.2.1 基本组成

100

101

104

105

113

102 雷达系统的主要组成部分包括发射机、接收机、天线、波形产生器和信号处理单 103 元等,如图 1.2 所示。

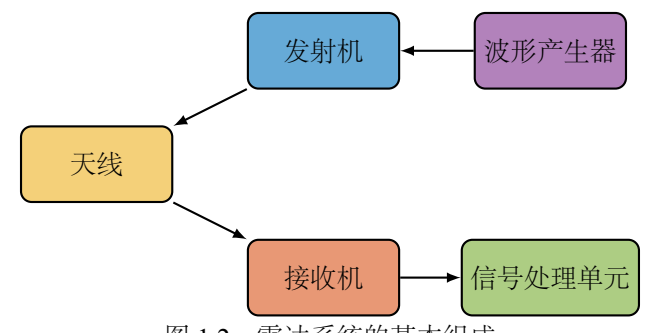


图 1.2 雷达系统的基本组成

整个雷达系统的工作流程如下:

- 1. 波形产生: 波形产生器生成特定的电磁波信号, 通常是脉冲信号或连续波信号。
 - 2. 发射:发射机将生成的电磁波信号放大,并通过天线向外发射。
- 3. 接收: 当电磁波遇到目标物体时,会发生反射,反射信号被天线接收并传输到接收机,接收机将接收到的信号进行放大和滤波,以提高信噪比。
- 4. **信号处理**:信号处理单元对接收到的信号进行分析和处理,以提取目标信息,如 距离、速度和方位等。

显 最后,处理后的目标信息可以通过显示器或其他输出设备进行显示,同时可以根据需要进行控制和调整。

1.2.2 工作频率

雷达的工作频率范围非常广泛,从几兆赫兹 (MHz) 到几百吉赫兹 (GHz) 不等。 15 工程上将雷达的工作频率划分为多个频率,表 1.1 给出了常见的雷达工作频率范围、 1.2 雷达工作原理 - 3 -

, 对应的波段名称以及主要应用场景和特点。

| 表 1.1 | 常见雷达工 | 作频率范 | 围及应用 |
|-------|-------|------|------|
| 10. 1 | | | |

| 波段名称 | 频率范围 | 主要应用场景和特点 | |
|------|----------------|--|--|
| HF | 3 - 30 MHz | 短波具有在地面与电离层之间多次反射的特性 (天波),适用于超视距、超远程雷达工作;但电波传播稳定性差,电磁频谱拥挤,易受干扰,不易辨别真伪目标,一般雷达不采用 | |
| VHF | 30 - 300 MHz | 米波雷达具有大天线口径、高辐射功率、传播衰减小和不受气象条件影响和建造费用相对较低的优点。 米波是监视卫星、洲际导弹的大型超远程雷达的重要波段。它也可用于一般简单的中、近程监视雷达。 但频段频谱拥挤与通信频段猫短,一般较少用 | |
| UHF | 300 - 1000 MHz | 适用于远程监视雷达,但因电视频段占用而很少采用 | |
| L | 1 - 2 GHz | 此频段的天线发射增益、天线口径、发射功率、接 收机噪声性能、抗干扰性能等都较适中,是中、远 程对空监视雷达常用的重要波段 | |
| S | 2 - 4 GHz | 为对空搜索监视雷达和导航雷达的常用波段,尤其 是对空监视跟踪用的中程雷达标 | |
| С | 4 - 8 GHz | 为精密监视雷达、精密跟踪雷达和中远程控制雷达 常用的重要波段;但因气象干扰较明显,常为气象 雷达所采用 | |
| X | 8 - 12 GHz | 为中、近程武器控制、跟踪、对海搜索、导航、机 载搜索攻击、战略侦察、交通管制等近程雷达常用 的重要波段。气象干扰明显,还常为气象雷达采用 | |
| Ku | 12 - 18 GHz | 该波段的雷达有良好的分辨力、互相干扰小; 但功 | |
| K | 18 - 27 GHz | 率小、易受噪声影响、传播衰减和气象条件影响较 大,仅适用于近程搜索、监视、武器跟踪和制导 | |
| Ka | 27 - 40 GHz | 7.1, VIC. II VICENTIA I | |
| V | 40 - 75 GHz | 毫米波雷达功率低,噪声大,大气吸收和气象干扰 | |
| W | 75 - 110 GHz | 严重,作用距离近,但分辨率较高,在自动驾驶中 使用较多 | |
| mm | 110 - 300 GHz | | |

不同的雷达工作频率具有不同的特点和应用场景。低频段(如 HF、VHF)适用于超远程监视和通信,但分辨率较低;中频段(如 L、S、C)适用于中远程监视和跟踪;高频段(如 X、Ku、K、Ka、V、W、mm)则适用于近程精密监视和自动驾驶等应用。

第1章 绪论

120

121

1.2.3 目标探测

这里以最简单的脉冲雷达为例,介绍雷达进行目标探测的基本原理。脉冲雷达通过发射短脉冲的电磁波信号,并测量接收到的回波信号的时间延迟来确定目标的距离。如图 1.3 所示,雷达发射的脉冲信号经过目标的反射后,由接收机接收则可以获得回波信号,并且回波信号与发射信号之间存在一个时延 τ 。

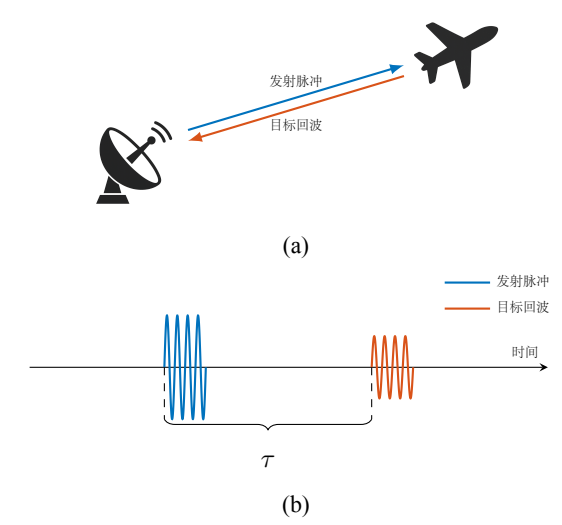


图 1.3 雷达脉冲信号示意图 (a) 传播路径 (b) 信号时延

125 假设目标与雷达之间的距离为r,那么不难得出,其与回波信号的时延 τ 之间的 126 关系为

$$r = \frac{c\tau}{2},\tag{1.1}$$

」。 其中 c 是光速。

127

129

1.3 电磁波传播特性

在上一节中,我们简要介绍了雷达的基本工作原理,这些原理通常基于电磁波在自由空间中沿直线传播的理想假设。然而在实际环境中,电磁波的传播往往会受到多种物理效应的影响,导致其偏离理想路径或信号发生畸变。主要包括遇到不同介质界面时发生的反射,由大气折射率变化引起的折射及大气波导现象,以及由于介质色散和多径传输导致的信号失真与干涉。为了更全面理解这些现象对雷达探测性能的影响,下面将依次介绍电磁波在传播过程中所表现出的反射、折射、大气波导、色散以及多径效应。

1.3 电磁波传播特性 - 5 · 5 ·

1.3.1 电磁波的反射

138

142

143

144

145

146

147

148

149

150

151

152

154

当电磁波遇到不同介质界面时,会发生部分反射。对于平滑金属目标(如飞机、舰船、汽车等),主要产生镜面反射(如图 1.4a 所示),这是雷达探测的主要基础。而对于粗糙或尺寸与波长相当的目标(如云层、雨滴、雪花、林地等),会出现明显的漫反射现象(如图 1.4b 所示)。

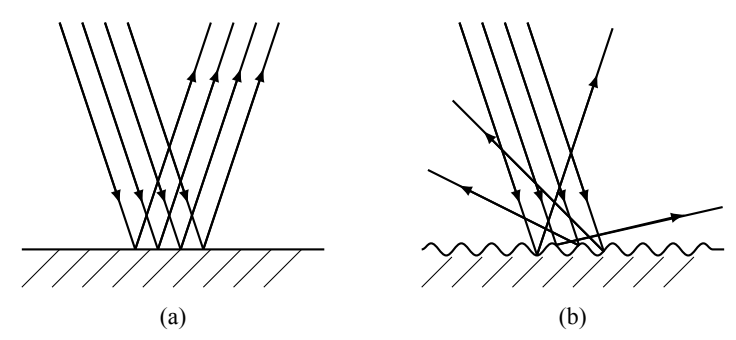


图 1.4 电磁波的反射示意图 (a) 镜面反射 (b) 漫反射

不同的雷达系统会根据目标的反射特性选择合适的工作频率和波形。例如,气象雷达通常使用较低频率,以便更好地探测云层和降水;而军事雷达则可能使用更高频率,以提高分辨率和探测精度。

此外, 隐身飞机为了降低被雷达探测的概率, 通常会采用特殊的设计和材料来减少雷达波的反射。根据电磁波的反射特性, 目前主流的隐身技术主要包括以下两种:

- 1. **外形优化设计**:通过机身外形的精细设计,采用倾斜表面和尖锐棱角结构,尽可能避免出现直角和垂直面,以显著降低雷达波的直接反射。
- 2. **结构与涂层设计**: 飞机内部采用蜂窝状或多孔结构,以增强对雷达波的吸收;同时在机体表面涂覆特殊材料(如吸波材料或漫反射涂层),进一步降低雷达波的反射强度。

利用镜面反射,还可以设计一种特殊的器械,叫作角反射器又名雷达反射器,简称角反。角反可以以将入射的电磁波反射回原方向,通常由三个互相垂直的平面组成,如图 1.5 所示。

事实上,角反在生活中非常常见。比如自行车的尾灯上通常会有一个小的角反射器 (如图 1.6 所示),用于提高夜间行车的安全性。仔细观察可以发现,这种角反是由大量的小型角反组成的。

由于角反可以有效地将入射的电磁波反射回原方向,因此可以提供稳定、明确的 强回波信号,通常被用作雷达系统的校准目标,检验雷达设备的测距精度、方向精度 和灵敏度。在航海与航空领域、角反射器常用于标识特定位置、如航道、海岸线或机 · 6· 第1章 绪论

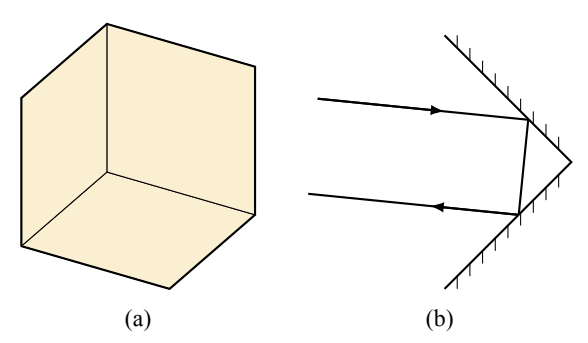


图 1.5 角反射器示意图 (a) 结构示意 (b) 工作原理



图 1.6 自行车尾部的角反射器

。 场跑道周围,为雷达导航提供明确的位置标识,提高导航的准确性与安全性。

1.3.2 电磁波的折射

162

163

167

171

174

电磁波在不同介质中传播时,会发生折射现象。折射是指电磁波在穿过介质界面时,传播方向发生改变的现象。折射的程度取决于入射角和介质的折射率。折射率是描述介质对电磁波传播影响的一个重要参数,定义为电磁波在真空中的传播速度与光在该介质中的传播速度之比,即

$$n = -\frac{c}{v}. ag{1.2}$$

折射是一种常见现象,可以用斯涅尔定律(Snell's Law)来描述。斯涅尔定律表明,当电磁波从一种介质进入另一种介质时,入射角 θ_1 、折射角 θ_2 和两种介质的折 物率 n_1 、 n_2 之间满足以下关系:

$$n_1 \sin \theta_1 = n_2 \sin \theta_2. \tag{1.3}$$

当电磁波以一个较大的入射角,从折射率较大的介质进入折射率较小的介质时, 可能会出现

$$n_1 \sin \theta_1 > n_2$$

的情况。此时,即便是 θ_2 达到 90°, 也无法满足 (1.3), 从而导致电磁波无法进入到低 折射率介质中, 而是全部反射回来。这种现象被称为全反射 (Total Internal Reflection)。

1.3 电磁波传播特性 · 7 ·

 σ 全反射的条件是入射角大于临界角 θ_c ,临界角可以通过以下公式计算:

$$\sin \theta_c = \frac{n_2}{n_1}.\tag{1.4}$$

光纤通信就是利用全反射原理实现的。光纤的核心部分具有较高的折射率,而包裹在外面的包层则具有较低的折射率。当光线以适当的入射角进入光纤时,会发生全反射,从而使光信号在光纤中传播而不损失能量。

在雷达系统中,折射现象也会影响电磁波的传播路径。在海面附近,由于水汽蒸发,会导致近海面小范围内大气湿度随高度锐减,从而形成一个较强的折射率梯度。或是在地面附近,出现逆温层,此时在一个较小的高度范围内,温度随高度增加而迅速升高,同样也会形成一个较强的折射率梯度。

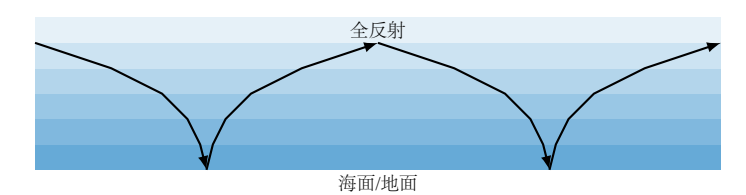


图 1.7 大气波导示意图 (折射率随海拔升高迅速下降)

如图 1.7 所示,此时,电磁波在传播时,由于折射率梯度的存在,传播曲线会发生弯曲,导向海面或地面,并被反射。反射后,电磁波的路径会再次发生弯曲,入射角逐渐增大,直到出现全反射现象,将电磁波再次反射回地面。重复这一过程,电磁波便可以在大气层中沿着地面或海面传播很远的距离,而不会明显衰减。这种现象被称为大气波导(Atmospheric Ducting),也称为大气波导效应。除此以外,大气波导也可能发生在海拔数十米或数百米的空中,基本原理与上述类似,不再赘述。需要注意的是,图 1.7 仅为示意图,其中大气的折射率变化并不连续,仅为简化说明而作的分段近似。

当出现大气波导现象时,雷达可以探测到地平线以下的目标。尽管能够探测到目标,但却很难精确地测量目标的距离。如图 1.8 所示,由于大气波导效应,电磁波会沿着地表或海面传播、形成一个弯曲的路径、从而能够探测到地平线以下的目标。

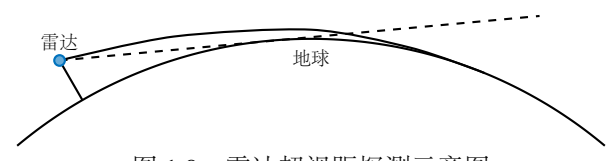


图 1.8 雷达超视距探测示意图

194

178

179

180

181

182

第1章 绪论

198

190

200

201

202

205

208

211

212

213

214

216

218

219

223

224

1.3.3 自由空间路径损耗与大气衰减

自由空间衰减(Free-Space Path Loss)则是指电磁波在自由空间中传播时,由于距离的增加而导致的功率损耗,通常被定义为发射功率与接收功率之间的比率。设有一个发射功率为 P_t 的天线,以球面波形式向外辐射电磁波,则在距离 r 处该电磁波的功率密度 S 可以表示为:

$$S = \frac{P_t}{4\pi r^2}.$$

而在此处的接收天线接收到的功率 P_r 则与天线的有效面积 A_e 有关,通常可以表示 为:

$$P_r = SA_e = \frac{P_t A_e}{4\pi r^2}. (1.5)$$

 $_{206}$ 其中, A_e 是接收天线的有效面积。对于一个增益为G 的天线,其有效面积可以表示 $_{207}$ 为:

$$A_e = \frac{G\lambda^2}{4\pi},\tag{1.6}$$

 $_{209}$ 其中 λ 是电磁波的波长。考虑一个各向增益为 1 的理想天线 (即 G=1),将 (1.6)代 $_{210}$ 入 (1.5),可以得到接收功率与发射功率之间的关系:

$$L = \frac{P_t}{P_r} = \left(\frac{4\pi r}{\lambda}\right)^2 = \left(\frac{4\pi fr}{c}\right)^2. \tag{1.7}$$

其中、L即为自由空间路径损耗。

从 (1.7) 可以看出,自由空间路径损耗与频率 f 的平方成正比。所以想要进行远距离的探测,通常需要使用低频段的电磁波。但低频段的电磁波分辨率较低,无法提供足够的细节信息。因此,在自动驾驶、无人机等应用中,通常会使用高频的毫米波雷达 (如 24GHz 或 77GHz),以获得更高的分辨率和精度。相应地,这些雷达的探测距离通常较短,一般在几百米以内。

除此以外,电磁波在大气中传播时还会受到大气衰减的影响。大气衰减是指电磁波在大气中传播时,由于大气中的水汽、氧气、二氧化碳等分子对电磁波的吸收和散射¹作用,导致信号强度的衰减。需要注意的是,大气衰减是指相对于自由空间路径损耗的大气导致的额外功率损耗。大气衰减与频率有关,通常在高频段(如微波和毫米波)更为显著。如图 1.9 所示,随着频率的增加,大气衰减会显著增加,并且湿空气的衰减比干燥空气更为明显。

严格来说,大气本身只能对电磁波产生吸收或散射作用,能量并不会凭空增加。 然而,从图 1.9 可以观察到,衰减数值在某些情况下可能为负值。也就是说,相对于

¹散射是指当波遇到空间中物体或介质的不均匀性(如界面、粗糙表面、微粒)时,入射波被扰动,产生新的传播方向和能量分布,从而向多方向重新辐射或传播的物理过程。在广义的波动物理概念中,散射包含了反射和折射引发的辐射场。

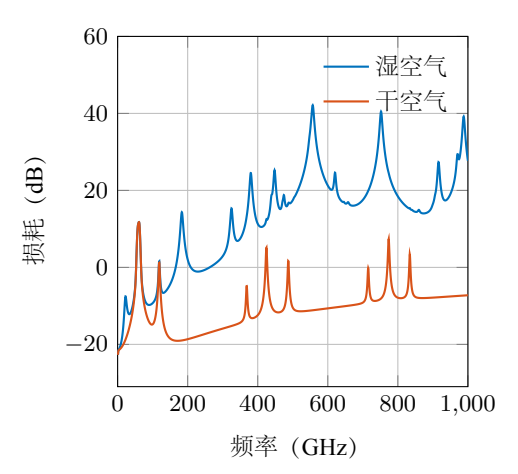


图 1.9 大气衰减曲线1 (距离 1 千米, 温度 15°C, 气压 1013 hPa)

26 在自由空间中传播,此时电磁波在大气中传播反而损耗更小。这主要是因为,在大气 27 (尤其是近地层)中,温度、湿度等因素引起的折射率梯度会导致电磁波沿地表被导引 28 传播,类似于波导效应,使得能量分布更加集中。因此,即便在较远的距离处,也能 29 够接收到较强的信号。

1.3.4 色散现象与多径效应

230

231

232

233

234

235

237

238

244

电磁波在大气中传播除了会产生传输损耗 (衰减)之外,还可能会产生失真。一般来说,产生失真的原因有两个,介质的色散现象和随机多径传输导致的干涉效应。

对于同一个介质,不同频率的电磁波在该介质中的传播速度有可能是不同的。这就会导致在传播的过程中,雷达发射的信号波形产生畸变,这种现象称为色散现象 (Dispersion)。色散现象的一个典型例子是光在玻璃中的传播。当白光通过棱镜时,不同波长的光会以不同的速度传播,从而导致光线分散成彩虹色谱。如果我们将传播介质看作是一个线性系统,那么该系统的频率响应是非线性相位的。而对于一个非线性相位的系统,其输出信号的波形相较于输入信号波形会发生畸变。

如图 1.10 所示,可以看到,对于一个全通滤波器,如果相位响应是线性的,那么 输出信号的波形与输入信号的波形相同,仅存在时延;反之,如果滤波器的相位响应 是非线性的,那么输出信号的波形会发生畸变,但频谱仍然保持不变。不过大气对常 见的雷达工作频率的色散效应并不明显,通常可以忽略不计。比如最靠近地表的对流 层,其对 20GHz 以下的电磁波基本上是无色散的。

此外,多径效应(Multipath Effect),则是指电磁波在传播过程中,由于遇到障碍物或地形的反射、折射和散射等作用,导致同一信号在不同路径上到达接收天线的现

·10· 第1章 绪论

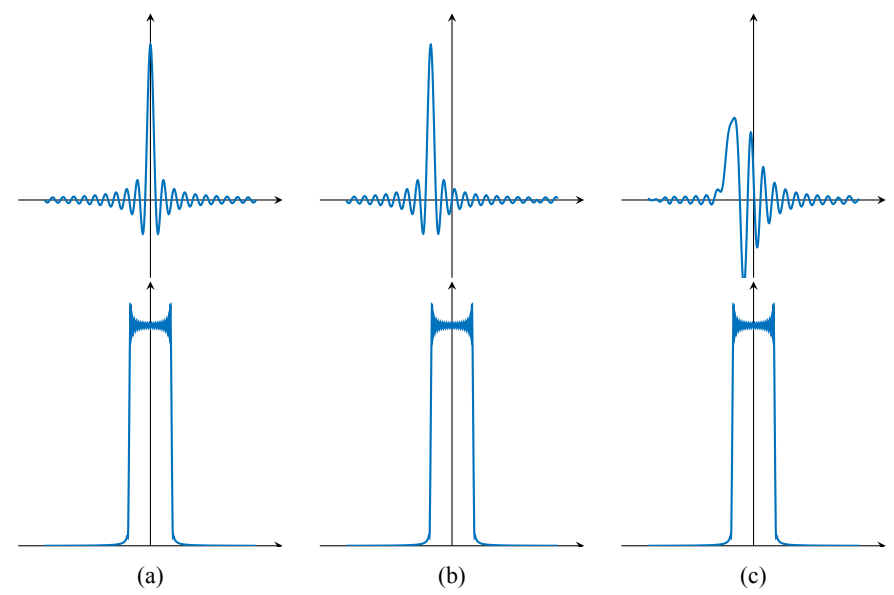
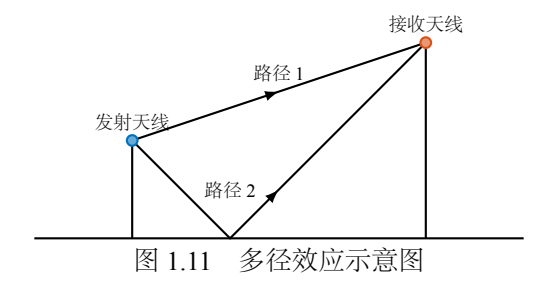


图 1.10 色散现象示意图 (a) 原始信号及频谱 (b) 无色散滤波器输出 (c) 有色散滤波器输出

246 象,如图 1.11 所示。多径效应会导致接收信号的相位和幅度发生变化,从而引起信号 247 的干扰和失真。严重时,不同路径上的信号可能会相互抵消,导致接收信号的强度显 248 著降低。



1.4 雷达方程

249

250

252

雷达方程 (Radar Equation) 是雷达系统最核心的工程公式之一,用于定量描述雷达发射、传播、反射和接收信号之间的功率关系。它既揭示了影响探测距离和信号强度的主要物理量,也为雷达系统设计提供了基础依据。本节已最简单的单站雷达(即发射接收天线距离很近,甚至共用同一个天线)为例,详细介绍雷达方程的推导过程。

1.4 雷达方程 - 11 -

设雷达系统的发射功率为 P_t ,且发射天线增益为 G_t ,那么在距离 r 处的功率密 度 S 可以表示为:

 $S_t = \frac{P_t G_t}{4\pi r^2}.$

而在此处的目标会将雷达发射的电磁波,以镜面反射、漫反射、体散射等方式反回给雷达接收天线,方便起见这里统称散射。由于目标的结构和材料千差万别,很难直接计算目标的散射特性,但可以使用雷达截面积(Radar Cross-Section, RCS)来整体性地描述目标对雷达波的散射能力。简而言之,如果目标的雷达截面积为 σ ,那么目标散射的电磁波的总功率 P_s 可以表示为:

$$P_s = S_t \sigma$$
.

因此,在接收天线处目标散射回来的电磁波的功率密度 S_r 可以表示为:

$$S_r = \frac{P_s}{4\pi r^2} = \frac{P_t G_t \sigma}{(4\pi r^2)^2}.$$

差 若接收天线的增益为 G_r 。根据天线增益和有效面积的关系,接收天线的有效面 积 A_e 可以表示为:

$$A_e = \frac{G_r \lambda^2}{4\pi}. ag{1.8}$$

268 将接收天线有效面积 A_e 与目标散射回来的电磁波的功率密度 S_r 相乘, 便可以得到接 269 收天线接收到的功率 P_r 为:

$$P_r = A_e S_r = \frac{G_r \lambda^2}{4\pi} \cdot \frac{P_t G_t \sigma}{(4\pi r^2)^2}.$$

将第1.4 节整理后,可以得到雷达方程的标准形式:

256

258

259

261

262

264

267

270

272

275

$$P_r = \frac{P_t G_t G_r \lambda^2 \sigma}{(4\pi)^3 r^4}. (1.9)$$

但设雷达能够检测的最小接收功率为 P_{\min} ,则根据 (1.9),可以得到雷达的最大探测距离 r_{\max} 为:

$$r_{\text{max}} = \left(\frac{P_t G_t G_r \lambda^2 \sigma}{(4\pi)^3 P_{\text{min}}}\right)^{1/4}.$$
 (1.10)

 μ_{t} 从 (1.10) 可以看出,雷达的最大探测距离与发射功率 P_{t} 、发射天线增益 G_{t} 、接收天 线增益 G_{r} 、发射信号波长 μ_{t} 以及目标的雷达截面积 μ_{t} 成正比,而与接收机的最小接 收功率 μ_{t} 收功率 μ_{t} 成反比。

 283

284

285

292

282 我们可以得到目标作为一个天线时的增益为

$$G_s = \frac{4\pi\sigma}{\lambda^2}.$$

此时,我们可以将发射功率与接收功率的比值写为

$$\frac{P_t}{P_r} = \frac{(4\pi)^3 r^4}{G_t G_r \lambda^2 \sigma} = \frac{(4\pi r)^4}{\lambda^4 G_t G_r G_s} = \frac{L^2}{G_t G_r G_s},\tag{1.11}$$

286 其中 L 是自由空间路径损耗, 表达式见 (1.7)。

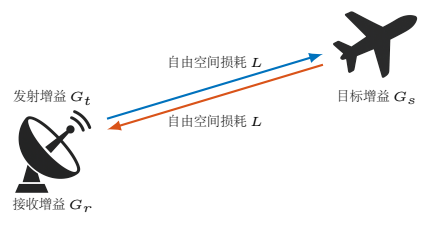


图 1.12 雷达方程与自由空间损耗

如图 1.12 所示,(1.11) 有明确的物理意义:在雷达系统中,电磁波首先向外发射电磁波,到达目标处,功率的损耗为 L 倍;然后目标将电磁波散射回来,再由接收天线接收,相同路径再走一遍,此时又损耗了 L 倍。又因为,所使用的天线有增益,且目标也并不是一个理想的点目标。所以,整体的损耗并没有达到 L^2 ,而是需要再除以多个环节的增益 $G_tG_rG_s$ 。

1.5 小结

本章主要介绍了雷达及其相关的基本概念、组成原理与工作特性。首先,回顾了雷达的起源,阐述了雷达利用电磁波反射实现目标探测的基本思想,并简要介绍了赫兹实验证实电磁波存在的过程。随后,系统地讲解了现代雷达的基本组成及其工作流程,包括波形产生、发射、接收及信号处理等环节,重点分析了不同工作频率雷达的应用特点。在此基础上,进一步探讨了电磁波在传播过程中的几种典型物理现象:反射、折射、大气波导、色散以及多径效应,并说明了这些现象对雷达探测的影响。最后,推导了雷达方程,揭示了雷达系统中各个参数之间的关系,为后续章节的深入学习奠定了基础。通过本章的学习,读者应能初步理解雷达的工作原理及其在实际应用中的重要性,为后续章节的深入研究做好准备。

参考文献

International Telecommunication Union, Radiocommunication Sector (ITU-R). Recommendation ITU-R P.676-R11: Attenuation by atmospheric gases[R]. Recommendation P.676-R11. Approved 30 September 2016. Geneva, Switzerland: ITU-R, 2016.

2379